

人心肌肌钙蛋白 I-C 融合蛋白 在大肠杆菌中的可溶性表达及纯化

闫存玲 徐国宾* 夏铁安

(北京大学第一医院检验科, 北京 100034)

摘要 提取人心肌组织总 RNA, RT-PCR 扩增出人心肌肌钙蛋白 I (cardiac troponin I, *cTnI*) 和肌钙蛋白 C (*TnC*) 基因, 利用人工合成的可编码 19 个中性氨基酸残基为主的 DNA 序列 (Linker), 将 *cTnI* 和 *TnC* 基因连接, 插入到质粒 pET15b 中, 将鉴定正确的重组 pET15b 质粒转化入大肠杆菌 *BL21 (DE3) pLysS* 中, 用异丙基-β-D - 硫代半乳糖苷 (IPTG) 诱导蛋白质表达。结果在大肠杆菌中成功实现了全长 *cTnI-C* 融合蛋白 (*cTnI-linker-TnC*) 的稳定可溶性高表达, 在摇瓶中表达量可达 21 mg/L。利用目的蛋白 N 端的组氨酸“标签” (His-tag), 经一步 Ni^{2+} -Sepharose 柱亲和层析纯化, 得到了聚丙烯酰胺凝胶电泳 (PAGE) 纯蛋白质。经初步研究, *cTnI-C* 具有较好的免疫原性和稳定性, 有望成为 *cTnI* 测定系统可溯源的候选参考物质, 推进 *cTnI* 检测的标准化进程。

关键词 心肌肌钙蛋白 I-C, 融合蛋白, 表达, 纯化

学科分类号 R446.1

人心肌肌钙蛋白 I (cardiac troponin I, *cTnI*) 与心肌肌钙蛋白 T (*cTnT*)、肌钙蛋白 C (*TnC*) 形成复合物, 存在于心肌肌原纤维细肌丝上, 是心肌细胞的重要调节蛋白^[1]。*cTnI* 具有较高的心肌特异性, 已成为诊断心肌损伤的确定性标志物。到 2000 年为止, 美国国家药品和食品管理局 (FDA) 至少已批准 16 种 *cTnI* 免疫学检测试剂^[2], 但不同试剂测定结果间存在显著差异。由于检测结果缺乏可比性, 给临床应用及评价带来困扰, 进行 *cTnI* 测定的标准化, 以尽量缩小各方法测定结果之间的差异, 受到临床医生和检验工作者的极大关注。分析引起测定结果差异的原因主要有: *cTnI* 在人血清中不稳定易被蛋白酶水解; 不同试剂所用单克隆抗体针对不同的 *cTnI* 表位; *cTnI* 测定方法学不同; 各测定试剂所配套的校准品中游离和复合物形式 *cTnI* 的含量及降解情况不同等^[3]。由于目前还没有国际公认的 *cTnI* 参考物质, 校准品量值无处溯源, 因此制备结构稳定、分子均一并能被所有 *cTnI* 单抗试剂识别的溯源参考物质, 用于校准品的量值溯源成为 *cTnI* 测定标准化的关键之一。

本研究根据心肌损伤患者血清中 *cTnI* 多以 *cTnI-TnC* 复合物形式存在, 且与 *TnC* 形成复合物后 *cTnI* 稳定性增加, 不易被蛋白酶水解的特点, 用 19 个中性氨基酸为主的短肽将 *cTnI* 和 *TnC* 连接到一起, 构建了全长 *cTnI-TnC* 融合蛋白 (*cTnI-C*) 的原核表达系统, 在大肠杆菌中成功实现了全长

cTnI-C 的稳定可溶性高表达。目的蛋白 N 端带有组氨酸“标签” (His-tag), 经一步 Ni^{2+} 金属螯合亲和层析纯化, 即得到 PAGE 纯、具有较好免疫原性和稳定性的 *cTnI-C* 二元重组蛋白。

1 材料和方法

1.1 材料

质粒 pET-15b 和菌种 *E. coli BL21 (DE3) pLysS* 购自 Novagen 公司, 质粒 pPIC9 购自 Invitrogen 公司, 逆转录试剂盒购自 GIBCO 公司, *SnaB* I 内切酶购自 Takara 公司, 其他常用内切酶购自 NEB 公司, 兔抗人 *cTnI* 多克隆抗体购自 Santa Cruz 公司, DNA 的合成与序列测定由北京奥科公司完成, AKTA-FPLC 蛋白纯化系统为 Amersham Pharmacia 公司产品, Access 微粒子化学发光免疫分析仪及 AccuTn I 试剂盒为 Beckman Coulter 公司生产。

1.2 方法

1.2.1 RNA 提取和逆转录: 取液氮冻存的心肌组织 100 mg, 在低温下研磨成粉末, 加 1 ml TRIzol 试剂混匀, 采用酚-氯仿抽提、异丙醇沉淀法提取总 RNA, 进行逆转录反应合成 cDNA。

1.2.2 PCR 引物与 Linker 的设计: 将 *cTnI* 和

* 通讯联系人。

Tel: 010-66551122-2042, E-mail: bdyyjyk@sina.com

收稿日期: 2004-03-11, 接受日期: 2004-04-28

TnC 基因插入 pPIC9 质粒中, 然后用一段可编码短肽的 Linker 将 *cTnI* 和 *TnC* 连接在一起。根据 *cTnI* 与 *TnC* 的基因序列和 pPIC9 的多克隆位点设计引物和 Linker 序列, *cTnI* PCR 引物: 上游 5' ATTACGTAATGGCGGATGGAGCAGC 3', 下游 5' CGGAATTCTCGCTCTAAACTT TTTC TTGCGGCC 3', 分别引入 *Sna*I 和 *Eco*I 的酶切位点; *TnC* PCR 引物: 上游 5' CCTAGGATGGATGACATCTACAGGC 3', 下游 5' ACGTCTAGA CTACTCCACAC CCTTCATG 3', 分别引入 *AVr*II 和 *Not*I 的酶切位点。Linker 序列: 正义链 5' ACGAATTTCAGTGG-TGGTGGTGGTTCTGGTGGGGGGGTCTGGTGGCG-GTGGTTC TCCTAGGATCC 3', 反义链 3' TGCTT-AAGTCACCACCACCAAGACCACCCCCCCCCAAG-ACCACCGCCACCAAGAGGATCCTAGG 5', 分别引入 *Eco*I 和 *AVr*II 的酶切位点。

1.2.3 目的基因的扩增: 以人心肌组织 cDNA 为模板, PCR 扩增人 *cTnI* 和 *TnC* 基因, 反应条件: 95℃ 预变性 5 min, 95℃ 30 s、55℃ 30 s、72℃ 30 s, 共 30 个循环, 72℃ 延伸 7 min。扩增产物进行 1% 琼脂糖凝胶电泳鉴定, 应得到 650 bp 的 *cTnI* 片段和 500 bp 的 *TnC* 片段。

1.2.4 *cTnI-C* 原核表达载体的构建: 将纯化后的 *cTnI* PCR 扩增产物和 pPIC9 质粒用 *Sna*I 和 *Eco*I 进行双酶切, 1% 琼脂糖电泳分离, 玻璃奶纯化, 在 T4 DNA 连接酶的作用下将 *cTnI* 基因插入 pPIC9 质粒中, 同样的方法将 *TnC* PCR 产物用 *AVr*II 和 *Not*I 酶切后插入已含有 *cTnI* 的 pPIC9 中。取 Linker 正义和反义链等摩尔聚合, *Eco*I 和 *AVr*II 双酶切后插入含有 *cTnI* 和 *TnC* 的 pPIC9 质粒中, 经测序验证全长 *cTnI-C* (*cTnI-Linker-TnC*) 序列是否正确, 测序正确的质粒命名为 pPIC9-IC。

利用 pET15b 质粒为载体构建原核表达载体, 根据 pET15b 质粒的多克隆位点和 *cTnI-C* 序列设计 PCR 引物, 引物序列为: 上游 5' ATCATATGG-CCGATGGTAGCAGC 3', 下游 5' TGGATCCCTACTCACACCCCTTCATG 3' 分别引入 *Nde*I 和 *Bam*H I 的酶切位点。以 pPIC9-IC 质粒为模板扩增 *cTnI-C* 基因, 将 PCR 产物插入 pET15b 质粒中, 得到原核表达载体 pET15-IC, 酶切鉴定正确后测序。

1.2.5 *E. coli* BL21(DE3)pLysS 的转化和融合蛋白的诱导表达: 将 pET15-IC 质粒转化入感受态表达菌 *E. coli* BL21(DE3)pLysS 中, 从 37℃ 培养过夜的含抗生素 (100 mg/L 氨苄青霉素和 17 mg/L 氯霉

素) 的 LB 平板上挑取菌落, 转种于含相同抗生素的 LB 液体培养基中进行培养, 细菌生长至 $A_{600} \approx 0.6$ 时, 加入终浓度为 1 mmol/L 的 IPTG, 诱导蛋白的表达。收集细菌沉淀超声破菌, 离心取上清进行 12% SDS-聚丙烯酰胺凝胶电泳 (SDS-PAGE) 鉴定。

1.2.6 诱导条件的优化: 在 37℃ 和 25℃ 两个温度条件下, 分别加入 IPTG 0.1、0.2、0.5 和 1.0 mmol/L 进行目的蛋白的诱导表达, 选择最佳诱导条件。在诱导后 1、2、3、4、5、6 和 7 h 测定 *cTnI* 的表达量, 确定最佳表达时间。

1.2.7 目的蛋白的纯化: pET15b 作为载体所表达的重组蛋白在其 N 端带有一个由 6 个 His 组成的“标签”, 可用 Ni^{2+} -Sepharose 柱进行亲和层析纯化^[4]。用含 50、100、300、500 mmol/L 咪唑的洗脱缓冲液 (0.5 mol/L NaCl、50 mmol/L pH 6.8 磷酸钠缓冲液) 进行梯度洗脱, 收集洗脱峰后脱盐 (脱盐缓冲液为 pH 7.4 的 PBS)。对纯化产物进行 12% SDS-PAGE, 并测定 *cTnI* 的免疫学含量, 计算回收率。纯化后的目的蛋白送北京华大蛋白质研发中心进行质谱分析。

1.2.8 *cTnI* 免疫学含量测定: 采用双抗体夹心法, 在 Access 微粒子化学发光免疫分析仪上用 AccuTnI 试剂盒测定 *cTnI* 的免疫学含量。使用的两株抗体都为鼠抗人 *cTnI* 单抗, 一株包被于磁性微粒子上, 一株用碱性磷酸酶 (ALP) 标记, 化学发光底物为 AMPPD, 该测定系统的线性范围为 0.01 ~ 100 $\mu\text{g}/\text{L}$ 。包被于磁性微粒子上的抗体和酶标抗体分别与 *cTnI* 的两个不同抗原决定簇结合, 形成抗体-抗原-酶标抗体免疫复合物, 发光底物 AMPPD 经免疫复合物中 ALP 水解生成一种不稳定的阴离子, 该阴离子分解时持续发光, 发光强度稳定, 与 ALP 量成正比, 即与待测抗原 *cTnI* 含量成正比。

1.2.9 *cTnI-C* 稳定性的初步研究: a. *cTnI-C* 在血清基质中的稳定性。将纯化后的 *cTnI-C* 加入血清基质中, 观察其对抗蛋白酶降解的能力。在 4 ml pH 7.4 的 PBS 中加入 0.15 μg 纯化的 *cTnI-C*, 然后加入 1 ml 正常人血清混匀 (血清量的选择参照 Liu 等的研究^[5]), 样本中 *cTnI* 的含量与心梗患者血清值接近), 37℃ 水浴放置 1、2、3、4 和 5 天后测定 *cTnI* 含量变化。b. *cTnI-C* 在不同保存体系中的稳定性。配制含有 10% BSA 的 pH 7.4 PBS 和含有 50% 甘油、10% BSA 的 pH 7.4 PBS (抗冻保存液), 将纯化后的 *cTnI-C* 加入以上保存液中

(cTnI-C 的加入量为 6 mg/L), 分别放置于室温、4℃和 -20℃, 定期测定 cTnI 的含量变化。同时测定未加保护剂时 cTnI-C 在 pH 7.4 PBS 中的稳定性。

2 结 果

2.1 PCR 扩增目的基因 *cTnI* 和 *TnC*

以人心肌组织 cDNA 为模板经 PCR 扩增出 650 bp 的 *cTnI* 和 500 bp 的 *TnC* 基因片段, 与预期一致(图 1)。经测序, DNA 序列完全正确。

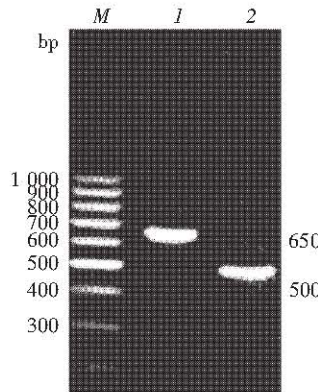


Fig. 1 Identification of PCR product

M: DNA ladder; I: *cTnI* PCR product;
2: *TnC* PCR product.

2.2 PCR 扩增 *cTnI-C* 基因

以 pPIC9-IC 质粒为模板, 扩增出约 1 200 bp 的 *cTnI-C* 基因片段, 与预期一致(图 2)。

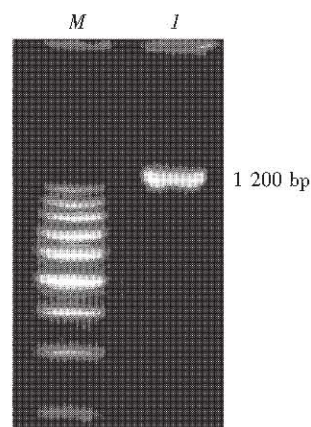


Fig. 2 Identification of *cTnI-C* PCR product

M: DNA ladder; I: *cTnI-C* PCR product.

2.3 *cTnI-C* 在大肠杆菌中的诱导表达

经 IPTG 诱导后, 取细菌裂解液上清进行 SDS-PAGE 鉴定(图 3), 45ku 附近可见外源蛋白表达条带。取细菌裂解液上清用抗 *cTnI* 多抗进行蛋白质印迹分析(图 4), 显示为单一印迹, 无降解条带, 说明在大肠杆菌中得到了 *cTnI-C* 的可溶性表达, 目的蛋白在表达过程中稳定无降解。

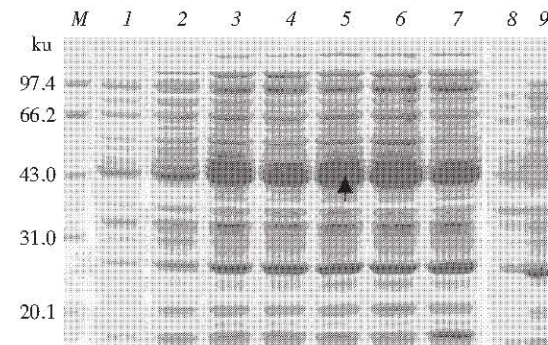


Fig. 3 Overexpression of *cTnI-C* in the host bacteria of *E. coli* BL21(DE3)pLysS

M: Low protein molecular mass marker; 1~7: Cell lysate supernatant of the host bacteria containing recombinant plasmids 1~7 h of IPTG induction (the arrowhead pointed the target protein); 8: Cell lysate supernatant of the host bacteria containing plasmids pET-15b without IPTG induction; 9: Cell lysate supernatant of the host bacteria containing plasmids pET-15b with IPTG induction.

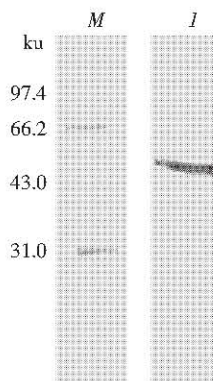


Fig. 4 Result of Western blot

M: Low protein molecular mass marker;
I: cell lysate supernatant.

2.4 诱导条件的优化

选用不同温度和不同诱导剂浓度进行目的蛋白的诱导表达, 结果在 25℃、0.5 mmol/L IPTG 条件

下, 目的蛋白表达量最高(图5), 诱导5 h后目的蛋白表达量基本接近峰值, cTnI 表达量达 11.3 mg/L, 按融合蛋白中 cTnI 的相对含量计算, cTnI-C 表达量为 21 mg/L.

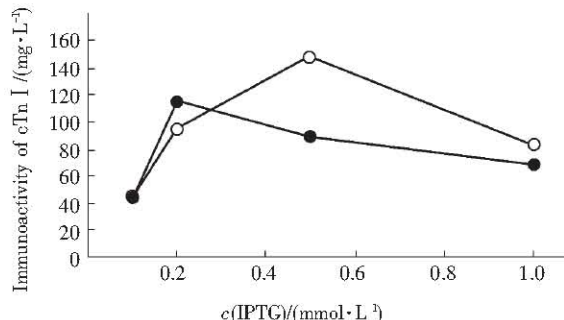


Fig. 5 Optimized induced condition

●—●: Induced at 37°C; ○—○: Induced at 25°C.

2.5 目的蛋白的纯化

在 Amersham Pharmacia AKTA 蛋白纯化系统上用 Ni^{2+} -Sepharose 柱对细菌裂解上清进行亲和层析

纯化, 收集洗脱峰后脱盐。经 12% SDS-PAGE 鉴定, 目的蛋白呈单一条带(图6), 回收率达 70% (表1)。

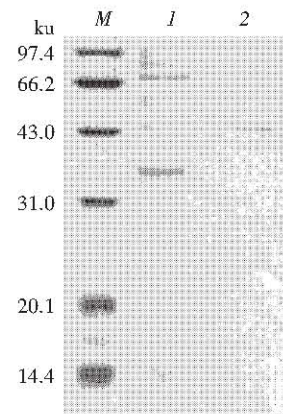


Fig. 6 Purification of the fusion protein cTnI-C

M: Low protein molecular mass marker; 1: flowthrough fraction; 2: cTnI-C with His tag eluted from nickel-Sepharose column.

Table 1 Score table of cTnI-C purification

Step	V/ml	m (cTnI) / mg	ρ (cTnI) / (mg · L⁻¹)	Recovery rate/%
Original fluid	8	4.4	550	
Affinity chromatography	21	3.6	171	82
Desalting	30	3.1	103.3	85
Total recovery rate				70

2.6 质谱分析结果

经高效液相色谱-电喷雾-质谱法(HPLC-ESI-MS) 分析, cTnI-C 得分 173 (>63 分有意义), 融合蛋白的分子质量为 46.1 ku, pI 为 5.36, 与预期一致。

2.7 cTnI-C 稳定性初步观察

2.7.1 cTnI-C 在 37°C 血清基质中的稳定性: 将纯化后的 cTnI-C 放于血清基质中, 37°C 孵育。检测孵育不同时间后的 cTnI 免疫学含量, 计算相对剩余量。结果孵育 2 天内 cTnI 较稳定, 其含量仅下降 8% (图7)。

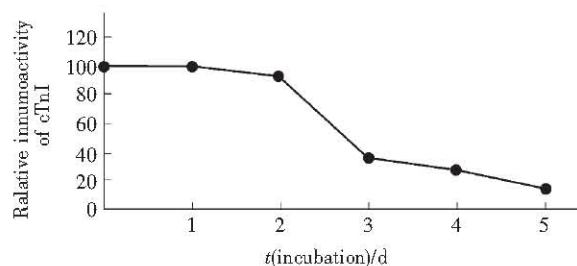


Fig. 7 Stability study of cTnI-C in serum matrix at 37°C

2.7.2 不同保存体系中 cTnI-C 的稳定性: 不同温度、不同保存体系对 cTnI-C 稳定性影响较大。cTnI-C 在 pH 7.4 的 PBS 中, 4°C 保存只能稳定

2周，-20℃保存3周后含量有明显下降。在含有10% BSA和50%甘油的PBS中，室温保存3周cTnI含量下降20%；4℃保存稳定2个月，4个月含量下降12%；-20℃保存6个月含量无明显变化。在含有10% BSA的PBS中，室温保存2周

cTnI含量下降30%；4℃保存2个月cTnI含量下降25%；-20℃保存6个月含量无明显下降（图8）。可见cTnI-C在含有甘油和BSA的保存液中稳定性较理想。

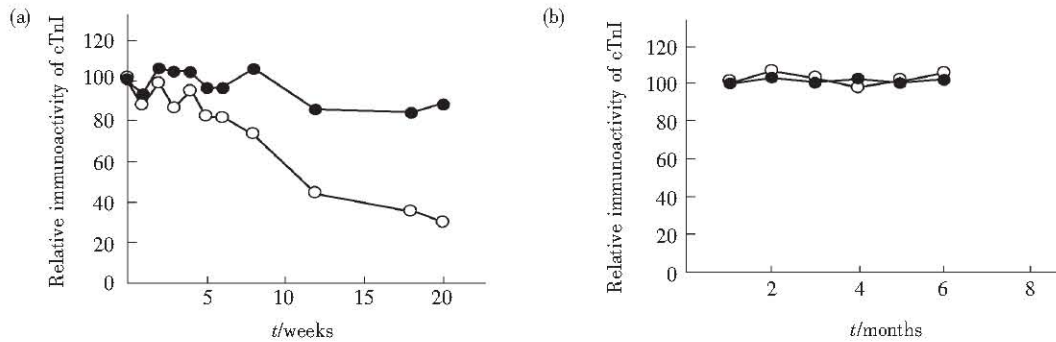


Fig. 8 Stability study of cTnI-C in different preserve systems

(a) 4°C, (b) -20°C. ●—●: 10% BSA 50% glycerol; ○—○: 10% BSA.

3 讨 论

不同cTnI测定系统间测定结果存在较大差异，使得不同方法的参考值范围、分析变异、诊断和预后的临界值等都出现不同程度的差别，检测结果的不同也将直接影响对众多临床问题的解释，如急性心肌梗死(AMI)的发作时间、梗死面积、再灌注的评估以及心肌损伤危险性分层等，给临床应用和评价带来困扰。为保证实验室间测定结果的可比性，cTnI测定的标准包括方法学的标准化和校准品的量值溯源受到极大关注，其中制备理想的溯源参考物质是标准化的关键。加拿大学者Liu等^[5]在此方面做了有益的尝试，在大肠杆菌中表达得到了两种含有cTnI和TnC的融合蛋白ScTnI-C和ScTnI-C-2。ScTnI-C含全长cTnI(210个氨基酸残基)和TnC，但以包涵体形式存在，变性复性及纯化困难，且蛋白质变性后能否重新正确折叠受到许多因素的影响；ScTnI-C-2含cTnI稳定片段(第28~110个氨基酸残基)和全长TnC，在表达菌中是可溶性表达，蛋白质稳定性较好，但由于只含cTnI稳定区片段，存在不能被针对cTnI的N端和C端表位单抗检测试剂识别的不足。

由于许多学者用原核系统表达含全长cTnI的重组蛋白，多是以包涵体形式存在^[5,6]，我们在研究中首先构建了以带有分泌信号肽序列的pPIC9质粒为载体，甲醇诱导的毕氏酵母GS115为表达菌

的cTnI-C真核表达系统，得到了目的蛋白的分泌型表达。但在诱导过程中目的蛋白发生了降解，可能是由于酵母菌表达蛋白周期较长(约72 h)和未受保护的cTnI游离N端易被蛋白酶降解两方面原因造成的。尝试了改变培养基配方和诱导条件、加入蛋白酶抑制剂等方法，效果都不理想。真核表达系统大多存在诱导周期长，蛋白质易被降解的问题，所以我们选择了原核表达，先后构建了几个原核表达系统，最终在以pET15b质粒为载体，*E. coli* BL21(DE3)pLysS为宿主菌的表达系统中，成功得到了稳定、可溶、高效表达全长的cTnI-C融合蛋白，其在摇瓶中表达量达21 mg/L。目的蛋白N端带有His-tag，经一步Ni²⁺-Sepharose亲和层析即得到了PAGE纯的全长cTnI-C，实现了常规纯化方法难以达到的高速度和高效率，减少或避免了纯化过程中目的蛋白降解及修饰的发生。我们对cTnI-C的稳定性进行了初步观察，在含有甘油和BSA的保存液中4℃保存稳定2个月，于-20℃保存6个月含量无明显变化，与Liu等^[5]在大肠杆菌中得到的ScTnI-C-2稳定性基本一致；cTnI-C在血清基质中37℃孵育48 h后，含量仅下降8%，稳定性明显好于ScTnI-C-2，在同样条件下ScTnI-C-2含量下降了50%。cTnI-C所具有较好的稳定性，可能与其N端受到His-tag融合序列的保护有关。作为cTnI测定系统的候选参考物质，今后还要对cTnI-C在不同cTnI检测系统中的免疫学行为、基

质效应及更长时间的稳定性等方面作更深入地研究。

参 考 文 献

- 1 Farah C S, Reinach F C. The troponin complex and regulation of muscle contraction. *FASEB J*, 1995, **9** (9): 755 ~ 767
- 2 Ravkilde J. Risk stratification in acute coronary syndrome using cardiac troponin I. *Clin Chem*, 2000, **46** (6): 443 ~ 444
- 3 靳彩宁, 徐国宾, 朱立华, 等. 人心肌TnI的生物学特性及其在临床诊断中的应用. *临床检验杂志*, 2002, **20** (2): 118 ~ 120
- 4 Jin C N, Xu G B, Zhu L H, et al. Chin J Clin Lab Sci, 2002, **20** (2): 118 ~ 120
- 5 Zhang G H, Xu G B, Liu Y M, et al. Prog Biochem Biophys, 2002, **29** (6): 966 ~ 969
- 6 Liu S G, Zhang M Y, Gong Q, et al. Recombinant single chain cardiac troponin I-C polypeptides: superior calibration and control materials for cardiac troponin I immunoassays. *Clin Lab*, 2001, **47** (1 ~ 2): 19 ~ 27
- 7 狄春辉, 钟英成, 施群. 人心肌肌钙蛋白I在大肠杆菌中的高效表达及纯化. *北京大学学报(医学版)*, 2000, **32** (4): 351 ~ 353
- 8 Di C H, Zhong Y C, Shi Q. Journal of Peking University (Health Sciences), 2000, **32** (4): 351 ~ 353

Expression of Human Cardiac Troponin I-C in *E. coli* and Its Purification

YAN Cun-Ling, XU Guo-Bin*, XIA Tie-An

(Department of Laboratory Medical Science, Peking University First Hospital, Beijing 100034, China)

Abstract In order to clone and express human cardiac troponin I-C fusion protein in application to the quality control for cTnI detection system, human cardiac troponin I and troponin C cDNAs were amplified from human cardiac using gene-specific primers designed from the published cDNA sequences by the polymerase chain reaction. The full-length of *cTnI* was linked with *TnC* by a short DNA sequence coding for 19 neutral amino acid residues. An expression construct for *cTnI-C* was engineered by inserting the corresponding cDNA into a pET15b plasmid. Then recombinant plasmid was transformed into *E. coli* BL21(DE3)pLysS cells, and protein expression was induced by isopropyl-β-D-thiogalactopyranoside (IPTG). Soluable expression of cTnI-C in prokaryotic system was successfully obtained. Fusion protein had an N-terminal His-tag sequence which could be purified by affinity chromatography on a Ni²⁺-Sepharose column. After one step affinity chromatography the fusion protein shows homogeneity as judged by SDS-PAGE. The fusion protein was stable and easy to be purified, could be used as candidate reference material for cTnI detection systems.

Key words cardiac troponin I-C, fusion protein, expression, purification

* Corresponding author. Tel: 86-10-66551122-2042, E-mail: bdyyjyk@sina.com

Received: March 11, 2004 Accepted: April 28, 2004